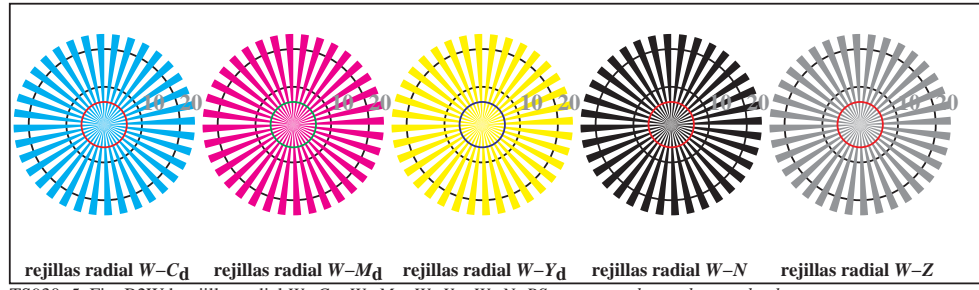




TS930-3, Fig. B1Wd: motivos florales, CIE 14 colores del test y 2 + 16 pasos de gris (sf); PS operator 4 colorimage

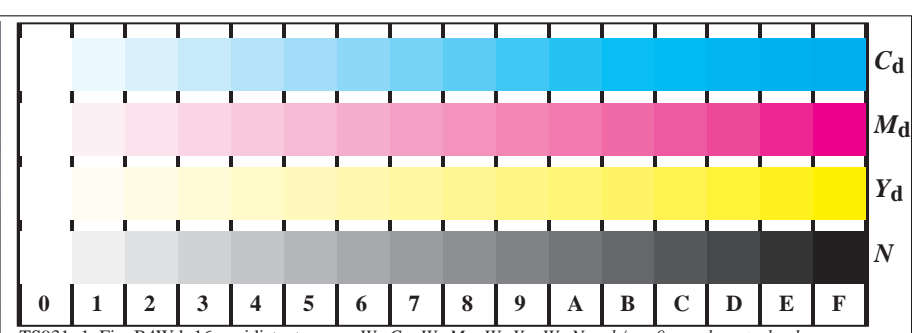


rejillas radial W-Cd rejillas radial W-Md rejillas radial W-Yd rejillas radial W-N rejillas radial W-Z

TS930-5, Fig. B2Wd: rejillas radial W-Cd; W-Md; W-Yd; W-N; PS operator $rgb \rightarrow rgb_d$ setrgbcolor



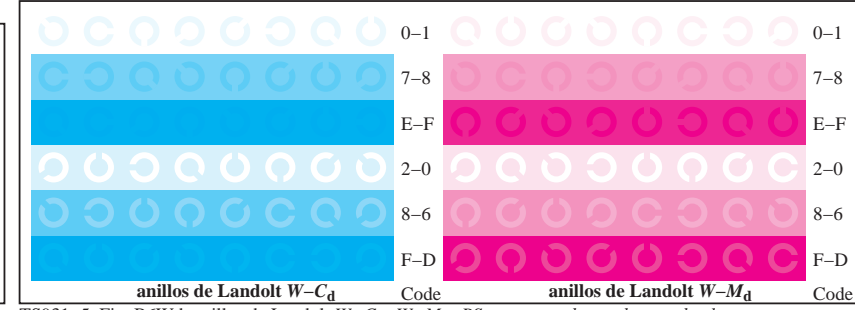
TS930-7, Fig. B3Wd: CIE 14 colores del test y 2 + 16 pasos de gris (sf); $rgb/cmy0 \rightarrow rgb_d$ setrgbcolor



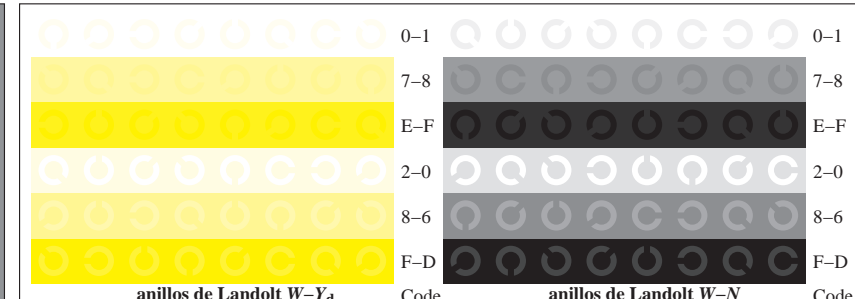
TS931-1, Fig. B4Wd: 16 equidistantes pasos W-Cd; W-Md; W-Yd; W-N; $rgb/cmy0 \rightarrow rgb_d$ setrgbcolor

+-.:	Q	O	O	O	C	lmno	C	O	C	O	lmo	pqrs	O	O	O	O	tuvw
xyz;	O	O	O	O	C	hijk	O	O	O	O	lmno	O	O	O	O	pqrz	
tuvw	O	O	O	O	C	defg	O	O	O	O	hijk	O	O	O	O	ijkl	
pqrs	O	O	O	O	C	!abc	O	O	O	O	+-.	O	O	O	O	+-.	
lmno	O	O	O	O	C	xyz;	O	O	O	O	xyz;	O	O	O	O	xyz;	
hijk	C	C	C	C	C	tuvw	O	O	O	O	tuvw	O	O	O	O	tabc	
defg	O	O	O	O	C	!abc	O	O	O	O	defg	O	O	O	O	xyz;	
!abc	O	O	O	O	C	6 N C_d M_d Y_d Z	O	O	O	O	4 N C_d M_d Y_d Z	O	O	O	O	defg	
10 N C_d M_d Y_d Z																	

TS931-3, Fig. B5Wd: codigo y Landolt anillosN; Cd; Md; Yd; Z; PS operator $rgb \rightarrow rgb_d$ setrgbcolor



TS931-5, Fig. B6Wd: anillos de Landolt W-Cd; W-Md; PS operator $rgb \rightarrow rgb_d$ setrgbcolor



TS931-7, Fig. B7Wd: anillos de Landolt W-Yd; W-N; PS operator $rgb \rightarrow rgb_d$ setrgbcolor